

شناسایی کanal مدفون با استفاده از تبدیل فوریه زمان کوتاه و اهمامیختی

میثم زارعی^۱، امین روشنده کاهو^{۱*}، حمیدرضا سیاه کوهی^۲ و مهدی صادقی^۱

^۱دانشکده معدن، نفت و ژئوفیزیک، دانشگاه صنعتی شاهرود، ایران

^۲موسسه ژئوفیزیک دانشگاه تهران، ایران

(تاریخ دریافت: ۱۳۹۰/۱۲/۲۳، تاریخ پذیرش: ۱۳۹۱/۶/۲۸)

چکیده

چون محتوای بسامدی داده‌های لرزه‌ای با زمان تعییر می‌کند باید از تبدیل‌های زمان – بسامد برای بررسی آنها استفاده کرد. تبدیل‌های زمان – بسامد متداول هر کدام دارای نقاط ضعف و قوت هستند. یکی از تبدیل‌های زمان – بسامد متداول توزیع ویگنر – وایل است که دارای قدرت تفکیک زمانی و بسامدی زیادی است، ولی به سبب حضور جمله‌های متقطع، امروزه کمتر مورد استفاده قرار می‌گیرد. بنابراین استفاده از تبدیل‌هایی که بتوانند علاوه بر حفظ نقاط قوت این روش‌ها، نقاط ضعف آنها را برطرف کنند، بسیار سودمند است.

طیف‌نگاشت تبدیل فوریه زمان کوتاه که مربع ضریب تبدیل فوریه زمان کوتاه است، نمونه هموار شده توزیع ویگنر – وایل است. طیف‌نگاشت تبدیل فوریه زمان کوتاه حاصل همامیختی دو بعدی توزیع ویگنر – وایل سیگنال و توزیع ویگنر – وایل تابع پنجره است. در این مقاله روش طیف‌نگاشت تبدیل فوریه زمان کوتاه و اهمامیختی عرضه می‌شود که با اعمال عملگر دو بعدی و اهمامیخت روی طیف‌نگار تبدیل فوریه زمان کوتاه به طور همزمان باعث افزایش قدرت تفکیک در حوزه زمان – بسامد و کاهش جمله‌های تداخلی توزیع ویگنر – وایل می‌شود. در این مقاله، ابتدا قدرت تفکیک تبدیل فوریه زمان کوتاه و اهمامیختی با تبدیلات زمان – بسامد مرسوم مقایسه شده و سپس کارایی نشانگرهای استخراج شده از این تبدیل برای شناسایی کanal‌های مدفون در داده‌های مصنوعی و واقعی سه بعدی بررسی و با تبدیل فوریه زمان کوتاه مقایسه می‌شود. با توجه به رفتار دامنه امواج لرزه‌ای در داخل کanal، در مورد سرعت امواج لرزه‌ای در رسوبات پُرکننده کanal می‌توان اطهار نظر کرد. نتایج حاصل نشان‌دهنده برتری قابل قبول این تبدیل در مقایسه با تبدیل‌های زمان – بسامد متداول دیگر و کارایی نشانگرهای استفاده شده در شناسایی کanal‌های مدفون، است.

واژه‌های کلیدی: تبدیل‌های زمان – بسامد، طیف‌نگار، قدرت تفکیک، تبدیل فوریه زمان کوتاه و اهمامیختی، و اهمامیخت دو بعدی، نشانگرهای لرزه‌ای، کanal‌های مدفون

Detection of buried channel using the deconvolutive short time Fourier transform

Meysam Zareie¹, Amin Roshandel^{1*}, Hamid Reza Siahkoohi² and Mehdi sadeghi¹

¹School of Mining, Petroleum and Geophysics, Shahrood University of Technology, Iran

²Institute of Geophysics, University of Tehran, Iran

(Received: 13 March 2012, accepted: 18 September 2012)

*Corresponding author:

roshandel@shahroodut.ac.ir

*نگارنده رابط:

Summary

Time representation was the first way to describe a signal, and later on the frequency representation was introduced as another important way to describe a signal for its physical significance. Due to the non-stationary property of seismic data, time-frequency transform has to be used to analyze it. During the last decade, spectral decomposition techniques have proven to be an excellent tool to describe thin beds associated with channel sands, alluvial fans, and the like. However, with the traditional spectral decomposition method based on the short time Fourier Transform, it is difficult to acquire the accurate time-frequency spectrum for non-stationary seismic signals. Recently, the emergence of seismic attribute co-rendering, principal component analysis, cluster analysis, and neural networks has partially solved the problem, but the extraction of spectral attributes from spectral-decomposition tightly linked to the geology has more advantages over other approaches. Popular time-frequency methods have some disadvantages.

A good time resolution requires a short window and a good frequency resolution require a narrow-band filter, i.e. a long window, but unfortunately, these two cannot be simultaneously realized. The Wigner-Ville Distribution (WVD) of a signal is the Fourier Transform of the signal's time-dependent auto-correlation function, a quadratic expression which is bilinear in the signal. As a result, the cross-terms appear in the locations of the resulting time-frequency spectra that either interfere with the interpretation of auto-terms or for which we can provide no physical interpretation. Due to the existence of cross-terms, WVD is not often used. Reduction of the cross-terms is achieved by manipulating the ambiguity function as a mask that reduces the cross-terms while preserving the time and frequency resolution of WVD.

The short-time Fourier Transform (STFT) spectrogram, which is the squared modulus of the STFT, is a smoothed version of WVD. An STFT spectrogram is a 2-D convolution of the signal WVD and the utilized window function. In this paper, we introduce a Deconvulsive Short-Time Fourier Transform (DSTFT) spectrogram method, which improves the time-frequency resolution and reduces the cross-terms simultaneously by applying a 2-D deconvolution operation on the STFT spectrogram. Compared to the STFT spectrogram, the spectrogram obtained by this method shows a significant improvement in the time-frequency resolution. In this study, we extract two attributes namely the peak frequency and the peak amplitude, based on the Deconvulsive Short-Time Fourier Transform. The maximum frequency attribute is directly related to the thickness of the thin-bed, like channel, and the maximum amplitude attribute also responds to the thin-bed.

We use instantaneous seismic attributes: maximum instantaneous frequencies and their associated amplitudes, as a tool to detect seismic geomorphologic bodies and to identify thin layers. Then we use attributes extracted by Deconvulsive Short Time Fourier Transform to detect the burial channel in both synthetic and real 3D seismic data. Usually, the center of the channel is recognized by the lower maximum frequency and when the thickness of the channel gets thinner away from the center of the channel, the maximum frequency increases correspondingly. Therefore, this attribute could clearly describe the distribution of channel both vertically and horizontally. Results of this study on the synthetic and real seismic data examples illustrate the good performance of the DSTFT spectrogram compared with other traditional time-frequency representations.

Key words: Time-frequency transform, spectrogram, resolution, deconvulsive short time Fourier transform, 2D convolution, seismic attributes, burial channels

فوریه زمان کوتاه و اهمامیختی (کیانگ و ون-کای، ۲۰۱۰) معرفی می‌شود که با حفظ قدرت تفکیک زیاد توزیع ویگنر - وایل، مشکل جمله‌های متقطع را نیز برطرف کرده است و می‌تواند جایگزین مناسبی برای توزیع ویگنر - وایل و سایر تبدیل‌های زمان - بسامد باشد. مطابق این نظریه، طیف‌نگار تبدیل فوریه زمان کوتاه حاصل همامیخت دو بعدی توزیع ویگنر - وایل سیگنال و پنجه است.

یکی از کاربردهای مهم تبدیل‌های زمان-بسامد در تحقیقات لرزه‌شناسی اکتشافی، بررسی لایه‌های نازک و شناسایی آنها است. در این مقاله، از تبدیل فوریه زمان کوتاه و اهمامیختی با قدرت تفکیک زیاد و خواص تداخلی امواج در لایه‌های نازک در شناسایی کاتال‌های مدفون استفاده شده است.

۲ تبدیل فوریه زمان کوتاه

تبدیل فوریه زمان کوتاه روشی است که به صورت گستردگی در بررسی سیگنال‌های غیرپایا استفاده می‌شود و مفهوم آن بسیار ساده و قدرتمند است. اساس این تبدیل برپایه استفاده از یک پنجره زمانی است. با استفاده از این تابع پنجره، سیگنال اصلی پنجره‌ای می‌شود و بررسی به بخش کوتاه شده سیگنال خلاصه می‌شود (کوهن، ۱۹۹۵). تبدیل فوریه زمان کوتاه برای سیگنال $x(t)$ به صورت رابطه (۱) نوشته می‌شود (اوگر و همکاران، ۱۹۹۶).

$$STFT(t, f) = \int_{-\infty}^{+\infty} x(u)h^*(u-t)e^{-j2\pi fu}du, \quad (1)$$

که $h(t)$ پنجره تحلیل زمان کوتاه است و حول $0 = x$ و $f = 0$ جایگزیده است. چون $x(t)$ در پنجره $h^*(u-t)$ ضرب می‌شود به طور قابل ملاحظه‌ای سیگنال به جز در همسایگی $u = t$ تضعیف می‌شود و در نتیجه تبدیل فوریه زمان کوتاه یک طیف محلی را از سیگنال $x(t)$ در همسایگی t به دست می‌دهد.

۱ مقدمه

تجزیه طیفی به منزله ابزاری قوی، در پردازش و تفسیر داده‌های لرزه‌ای کاربرد وسیعی دارد. امروزه کاربرد تبدیل‌های زمان-بسامد با داشتن هم‌زمان اطلاعات زمانی و بسامدی داده‌های لرزه‌ای افزایش چشمگیری داشته است. روش‌های متفاوتی برای تجزیه طیفی مانند تبدیل فوریه زمان کوتاه (گابور، ۱۹۴۶)، توزیع ویگنر-وایل (ویگنر، ۱۹۳۲؛ وایل، ۱۹۴۸)، تبدیل موجک (مالات، ۲۰۰۹) و تبدیل S (استاکول و همکاران، ۱۹۹۶) از سوی محققان عرضه شده است. از هر کدام از این تبدیل‌ها به صورت گستردگی در لرزه‌شناسی استفاده می‌شود (ماتوس و همکاران، ۲۰۰۵؛ کستگنا و همکاران، ۲۰۰۳؛ سینها و همکاران، ۲۰۰۵؛ لیته و همکاران، ۲۰۰۸؛ عسکری و سیاه‌کوهی، ۲۰۰۸؛ روشنل کاهو و سیاه‌کوهی، ۱۳۸۸؛ روشنل کاهو و سیاه‌کوهی، ۱۳۸۹). هریک از روش‌های فوق دارای مزایا و معایبی هستند که استفاده از این تبدیل‌ها را محدود می‌کند. توزیع ویگنر - وایل یکی از روش‌های نمایش زمان-بسامد متداول و در عین حال مهم است که در میان روش‌های متداول، بهترین قدرت تفکیک را دارد. اما به سبب وجود جمله‌های متقطع و تداخل آن با جمله‌های خودهمبسته، نمی‌توان تفسیر درستی از طیف زمان-بسامد توزیع ویگنر - وایل داشت. تحقیقات و بررسی‌های گستردگی برای رفع مشکل توزیع ویگنر - وایل عرضه شده است. توزیع شبه‌ویگنر - وایل (پاپاندرو-سوپاپولا، ۲۰۰۳) و توزیع شبه‌ویگنر - وایل هموار شده (پاپاندرو-سوپاپولا، ۲۰۰۳) دو روش متداولی هستند که برای رفع مشکل توزیع ویگنر - وایل معرفی شده‌اند. در این دو روش با استفاده از هموارسازی در راستای محورهای زمان و بسامد، جمله‌های متقطع به سبب خاصیت نوسانی، تا حد زیادی تضعیف شده‌اند. با این حال در مقابل، قدرت تفکیک زیاد زمانی و بسامدی توزیع ویگنر - وایل را از دست داده‌اند. در این مقاله تبدیل

قطع حاصل از توزیع ویگنر-وایل سخت می‌شود. چنانچه در رابطه (۲) به جای استفاده از خود سیگنال از سیگنال پنجره‌ای استفاده شود، توزیع ویگنر-وایل به توزیع شبهویگنر-وایل تبدیل می‌شود. استفاده از عملگر پنجره‌ای معادل هموارسازی در راستای بسامد بدون از توزیع ویگنر-وایل است و مطابق رابطه زیر به دست می‌آید (اوگر و همکاران، ۱۹۹۶).

$$PWVD(t,f) = \frac{1}{2\pi} \int_{-\infty}^{+\infty} h(\tau) x(t + \tau/2)x^*(t - \tau/2)e^{-j2\pi f\tau} d\tau, \quad (4)$$

که $h(\tau)$ تابع هموارسازی است. در این روش آن دسته از جمله‌های متقطع که دارای نوسان در راستای محور زمان هستند، باقی خواهد ماند.

چون جمله‌های تداخلی با بسامد زیادی نوسان می‌کنند، ساده‌ترین راه برای تضعیف این جمله‌ها، کاربرد یک فیلتر دوپُعدی پایین‌گذار است. در این روش همه جمله‌های متقطع تضعیف می‌شوند. ولی با کاربست این فیلتر علاوه بر تضعیف جمله‌های تداخلی، به طور هم‌زمان از قدرت تفکیک توزیع ویگنر-وایل نیز کاسته می‌شود. این فیلتر دوپُعدی پایین‌گذار از یک تابع هموارساز دوپُعدی زمانی و بسامدی، $\varphi(u,\tau)$ ، استفاده می‌کند و توزیع ویگنر-وایل سیگنال $x(t)$ توزیع شبهویگنر-وایل هموار شده خوانده می‌شود و به صورت رابطه (۵) نشان داده می‌شود (اوگر و همکاران، ۱۹۹۶).

(۵)

$$SPWVD_x(t,f) = \int_{-\infty}^{+\infty} \int_{-\infty}^{+\infty} \varphi(u,\tau) WVD(t-u,f-\tau) du d\tau,$$

با کاربرد تابع هموارسازی مناسب توزیع شبهویگنر-وایل هموار شده تعادلی را بین قدرت تفکیک و شدت هموارسازی جمله‌های تداخلی می‌توان ایجاد کرد. به عبارت دیگر هرچه شدت هموارسازی بیشتر باشد قدرت تفکیک بیشتر کاهش می‌باید.

۳ توزیع ویگنر-وایل

یکی از مزایای توزیع ویگنر-وایل نسبت به تبدیل‌های زمان-بسامد متداول، به دست آوردن توزیع چگالی انرژی در صفحه زمان-بسامد بدون از دست دادن قدرت تفکیک در راستای زمان و بسامد است. توزیع چگالی انرژی در صفحه زمان-بسامد از همبستگی سیگنال x با نسخه انتقالی زمانی و بسامدی خود سیگنال به دست می‌آید. با وجود خواص برجسته این توزیع، کاربرد آن به سبب وجود مجموعه‌ای از جمله‌های تداخلی اضافی، محدود شده است. البته با استفاده از هموارسازی می‌توان این جمله‌ها را کاهش داد ولی در مقابل، قدرت تفکیک نیز کاهش می‌باید (روشنبل کاهو، ۱۳۸۸). توزیع ویگنر-وایل برای سیگنال $x(t)$ به صورت تبدیل فوریه تابع خودهمبستگی مستقل از زمان که به اندازه τ اختلاف زمانی دارند تعریف می‌شود که در رابطه (۲) نشان داده شده است (راسون و همکاران، ۲۰۰۷).

(۲)

$$WVD_x(t,f) = \frac{1}{2\pi} \int_{-\infty}^{+\infty} x(t + \tau/2)x^*(t - \tau/2)e^{-j2\pi f\tau} d\tau,$$

که (۲) $R(\tau) = x(t + \tau/2)x^*(t - \tau/2)$ تابع خودهمبستگی وابسته به زمان و x مزدوج مختلط است. توزیع ویگنر-وایل به سبب اینکه در آن از تابع پنجره استفاده نشده است، دارای قدرت تفکیک زیادی در حوزه زمان-بسامد است. ولی کاربرد آن به سبب وجود جمله‌های متقطع محدود شده است (دونگلی و همکاران، ۲۰۱۰). برای سیگنال $x(t) = x_1(t) + x_2(t)$ توزیع ویگنر-وایل به صورت رابطه (۳) است.

$$WVD_x(t,f) = WVD_{x1}(t,f) + WVD_{x2}(t,f) + 2\operatorname{Re}(WVD_{x1x2}(t,f)), \quad (3)$$

در رابطه (۳) مشاهده می‌شود که علاوه بر جمله‌های خودهمبستگی، جمله تداخلی نیز وجود دارد که به سبب همپوشانی این جمله‌ها در صفحه زمان-بسامد، تفسیر

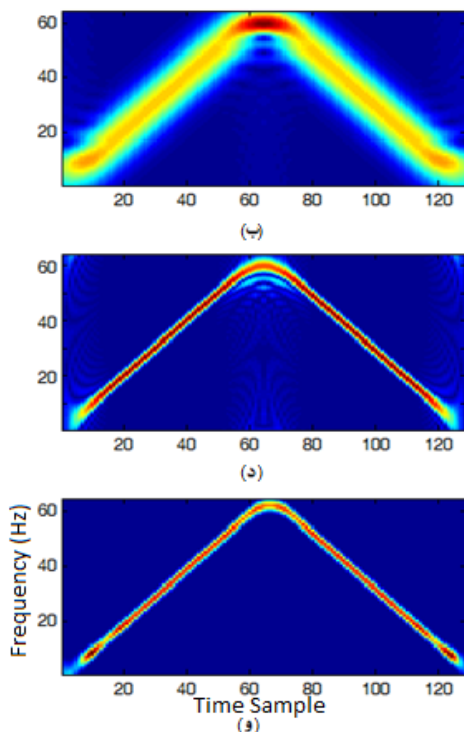
تابع هموارکننده دو بعدی برای هموارسازی توزیع ویگنر - وایل است. می توان فیلتر پایین گذر را به صورت یک تابع گاوسی دو بعدی جدایی پذیر مانند رابطه (۶) تعریف کرد

$$\varphi(u, \tau) = e^{-\alpha u^2 - \beta \tau^2}, \quad (6)$$

که $\alpha = \beta = 1$ است. در این صورت توزیع شبهویگنر - وایل هموار شده سیگنال $x(t)$ همان طیفنگار تبدیل فوریه زمان کوتاه است. بنابراین می توان طیفنگار تبدیل فوریه زمان کوتاه را برای یک سیگنال مانند $x(t)$ ، به صورت یک همامیخت دو بعدی مطابق رابطه (۷) نوشت (کیانگ و ون-کای، ۲۰۰۹).

$$SPEC_x(t, f) = |STFT_x(t, f)|^2 = \int_{-\infty}^{+\infty} \int_{-\infty}^{+\infty} WVD_g(\tau, u) WVD_x(t - \tau, f - u) d\tau du, \quad (7)$$

که $WVD_g(t, f)$ توزیع ویگنر - وایل پنجره گاوسی،



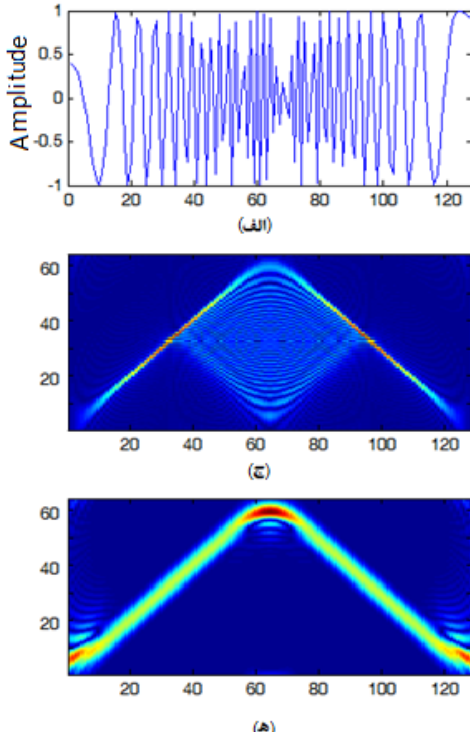
شکل ۱. (الف) سیگنال و (ب) تبدیل فوریه زمان کوتاه، (ج) توزیع شبهویگنر - وایل، (د) توزیع شبهویگنر - وایل، (ه) توزیع شبهویگنر - وایل هموارشده و (و) تبدیل فوریه زمان کوتاه و اهمامیختنی مربوط به سیگنال.

۴ تبدیل فوریه زمان کوتاه و اهمامیختنی

در تبدیل فوریه زمان کوتاه به سبب پنجره ای کردن سیگنال مورد بررسی، تعادلی بین قدرت تفکیک در حوزه زمان و بسامد که ناشی از اصل عدم قطعیت است، وجود دارد. تابع پنجره با طول زمانی کم باعث افزایش قدرت تفکیک در حوزه زمان و کاهش قدرت تفکیک در حوزه بسامد می شود. طیفنگار تبدیل فوریه زمان کوتاه تعريف می شود و نشان دهنده چگالی طیف انرژی است که مطابق رابطه (۵) نوشته می شود (کیانگ و ون-کای، ۲۰۰۹)

$$SPEC_x(t, f) = \left| \int_{-\infty}^{+\infty} x(u) h^*(u-t) e^{-j2\pi fu} du \right|^2, \quad (5)$$

همانطور که بیان شد، یکی از روش های کاهش جمله های متقطع در توزیع ویگنر - وایل استفاده از یک



شبه‌ویگنر-وایل و توزیع شبه‌ویگنر-وایل هموار شده بطرف شده اما در مقابل، قدرت تفکیک نیز کاهش یافته است. نکته قابل ذکر قدرت تفکیک بیشتر توزیع ویگنر-وایل از تبدیل فوریه زمان کوتاه است، این در حالی است که تبدیل فوریه زمان کوتاه واهمامیختی فاقد هرگونه جمله تداخلی است و قدرت تفکیک بالاتری را نسبت تبدیل‌های فوق به دست داده است.

۵ شناسایی کانال‌های مدفون

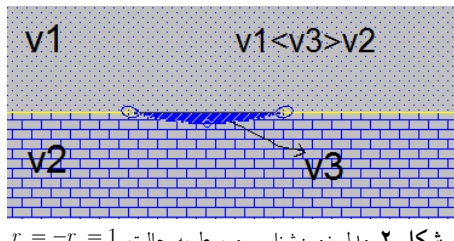
می‌توان کانال را مانند یک لایه نازک فرض کرد و درنتیجه پاسخ کانال را نسبت به امواج لرزه‌ای به صورت رابطه (۱۰) نوشت (هان و همکاران، ۲۰۱۱).

$$y(t) = r_1 f(t) + t_1 r_1 f(t + \tau), \quad (10)$$

که $f(t)$ موجک لرزه‌ای است که به کانال می‌رسد، r_1 ضریب بازتاب از سطح کانال، t_1 ضریب عبور از سطح کانال، r_2 ضریب بازتاب از کف کانال و τ ضخامت کانال است. طیف بازتابی از کانال به صورت رابطه (۱۱) است.

$$Y(j\omega) = (r_1 + t_1 r_2 e^{-j\omega\tau})F(j\omega), \quad (11)$$

که $F(j\omega)$ تبدیل فوریه $f(t)$ است. در واقع لایه نازک یا همان کانال برای موج فرودی به کانال، نقش یک فیلتر را بازی می‌کند. اگر $r_1 = -r_2 = 1$ و ضریب عبور نزدیک به ۱ باشد به عبارت دیگر مطابق شکل ۲ سرعت در داخل کانال نسبت به لایه‌های بالایی و پایینی بیشتر باشد، آن‌گاه تابع تبدیل و طیف دامنه پاسخ ضربه واحد فیلتر پیش‌گفته را می‌توان به صورت رابطه (۱۲) نوشت (هان و همکاران، ۲۰۱۱):



شکل ۲. مدل زمین‌شناسی مربوط به حالت $r_1 = -r_2 = 1$.

$STFT_x(t, f)$ توزیع ویگنر-وایل سیگنال و $(WVD_x)_h$ تبدیل فوریه زمان کوتاه سیگنال هستند. رابطه (۸) را می‌توان به صورت رابطه (۹) بازنویسی کرد.

$$SPEC_x = WVD_h * * WVD_x, \quad (8)$$

که $**$ نشان‌دهنده همامیخت دوی بعدی است. طیف‌نگار تبدیل فوریه زمان کوتاه شامل جمله‌های متقطع نیست ولی در مقابل قدرت تفکیک آن در راستای زمان و بسامد کم است. بنابراین با کاربست یک عملگر واهمامیخت دوی بعدی براساس رابطه (۸) روی طیف‌نگار تبدیل فوریه زمان کوتاه می‌توان توزیع ویگنر-وایل سیگنال را بدون جمله‌های متقطع و با قدرت تفکیک زیاد به دست آورد. برای واهمامیخت دوی بعدی، الگوریتم تکراری لوسی-ریچاردسون (Ricardson، ۱۹۷۲؛ لوسی، ۱۹۷۴) مورد استفاده قرار می‌گیرد که به صورت رابطه (۹) نوشته می‌شود.

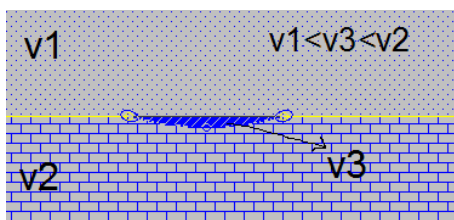
$$WVD_x^{k+1} = WVD_x^k \left(WVD_g * * \frac{SPEC_x}{WVD_g * * WVD_x^k} \right), \quad (9)$$

که $WVD_x^0 = SPEC_x$ است. $k+1$ شمارنده تکرار و طیف‌نگار به دست آمده بعد از تعداد معین تکرار، تبدیل فوریه زمان کوتاه واهمامیختی نامیده می‌شود (کیانگ و ون-کای، ۲۰۱۰).

در شکل ۱ سیگنالی مشکل از دو رویداد با بسامدهای متغیر نشان داده شده است که یک رویداد دارای روند افزایشی بسامد با زمان و دیگری دارای روند کاهشی بسامد با زمان است. تبدیل فوریه زمان کوتاه، توزیع ویگنر-وایل، توزیع شبه‌ویگنر-وایل، توزیع شبه‌ویگنر-وایل هموار شده و تبدیل فوریه زمان کوتاه واهمامیختی مربوط به آن نیز در شکل ۱ مشاهده می‌شود. همان‌طور که در شکل پیدا است، وجود جمله تداخلی در توزیع ویگنر-وایل مانع از تفسیر مناسب از مقطع زمان-بسامد می‌شود، درحالی که این مشکل تا حدودی در توزیع

در این حالت چون دو موجکی که از لبه‌های کاتال به گیرنده‌ها می‌رسند هم فاز هستند، تداخل سازنده رخ می‌دهد و در لبه‌های کاتال بیشینه دامنه ایجاد می‌شود و با حرکت به سمت مرکز کاتال اختلاف فاز بین دو موجک ایجاد شده و دامنه کاهش پیدا می‌کند. این کاهش با ضخامت کاتال ارتباط مستقیم دارد و در حالت خاص چنانچه ضخامت کاتال مضرب فردی از نصف طول موج باشد، اختلاف فاز به 180° درجه می‌رسد و در مرکز کاتال حداقل دامنه به وجود می‌آید. با وجود این در این حالت نیز بسامد غالب با حرکت از لبه به سمت مرکز کاتال کاهش می‌یابد.

در نتیجه می‌توان از نحوه تغییرات بسامد غالب لحظه‌ای برای شناسایی کاتال‌های مدفعون استفاده کرد و با توجه به تغییر رفتار دامنه بسامد غالب لحظه‌ای امواج لرزه‌ای در کاتال درباره سرعت رسوبات پُرکننده کاتال نسبت به لایه‌های بالایی و پایینی به اظهار نظر پرداخت.



شکل ۳. مدل زمین‌شناسی مربوط به حالت $r_1 = r_2 = 1$.

۶ کاربرد روی داده مصنوعی و واقعی لرزه‌ای

به منظور بررسی میزان کارایی روش معرفی شده در شناسایی کاتال‌های مدفعون، در یک مکعب مصنوعی از داده‌های لرزه‌ای سه‌بعدی کاتالی با شرایط $r_1 = r_2 = 1$ ایجاد شد. موجک استفاده شده در ساخت مکعب از نوع ریکر و بسامد غالب آن 40 Hz است. در شکل ۴ مکعب داده لرزه‌ای مصنوعی و بُرش افقی در نمونه ۵۳ نشان داده شده است. دو نشانگر بسامد لحظه‌ای

$$k(j\omega) = \frac{Y(j\omega)}{F(j\omega)} = (1 - e^{-j\omega\tau}) \quad (12)$$

and

$k(j\omega) = [2 - 2\cos(\omega\tau)]^{1/2}$ ، از رابطه (۱۲) می‌توان نشان داد که بیشینه دامنه در بسامدهای $\tau/\pi = 2\pi(n+0.5)$ و اولین بیشینه در $\tau/\pi = \pi$ رخ می‌دهد. در نتیجه می‌توان از اولین بیشینه بسامد برای برآورد ضخامت لایه نازک استفاده کرد.

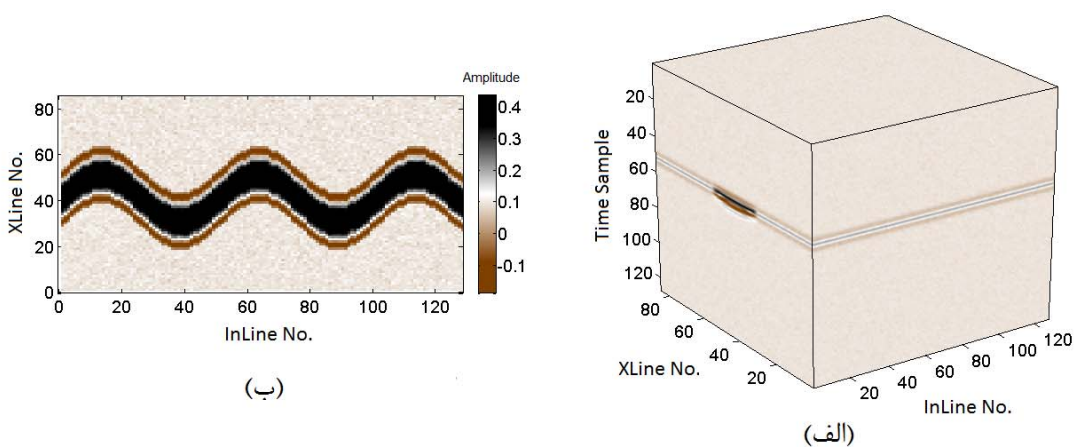
در این حالت چون دو موجکی که به گیرنده‌ها می‌رسند دارای اختلاف فاز 180° درجه هستند، در لبه‌های کاتال تداخل ویرانگر رخ می‌دهد و حداقل دامنه را می‌توان انتظار داشت. با حرکت به سمت مرکز کاتال به سبب دور شدن از حالت تداخل ویرانگر، دامنه افزایش می‌یابد که این افزایش دامنه با ضخامت کاتال ارتباط مستقیم دارد. در حالت خاص چنانچه در مرکز کاتال اختلاف فاز مضرب صحیحی از طول موج باشد (دو موجک هم فاز باشند) تداخل سازنده رخ می‌دهد و بیشینه دامنه را در مرکز کاتال خواهیم داشت. با وجود این به سبب افزایش طول زمانی موجک در اثر تداخل، بسامد غالب با حرکت از لبه به سمت مرکز کاتال کاهش می‌یابد.

حال اگر $r_1 = r_2 = 1$ و ضریب عبور نزدیک به ۱ باشد، بعارت دیگر مطابق شکل ۳ سرعت در داخل کاتال نسبت به لایه بالایی بیشتر و نسبت به لایه پایینی کمتر باشد، آن‌گاه تابع تبدیل و طیف دامنه پاسخ ضربه واحد عملکرد فیلتر گونه کاتال را می‌توان به صورت رابطه (۱۳) نوشت:

$$k(j\omega) = \frac{Y(j\omega)}{F(j\omega)} = (1 + e^{-j\omega\tau}) \quad (13)$$

and

$k(j\omega) = [2 + 2\cos(\omega\tau)]^{1/2}$ ، با استفاده از رابطه (۱۳) می‌توان نشان داد که کمینه‌های دامنه در بسامدهای $\tau/\pi = (2n+1)\pi$ و اولین کمینه در $\tau/\pi = \pi$ رخ می‌دهد. در این حالت نیز می‌توان از اولین کمینه برای برآورد ضخامت لایه نازک بهره برد.

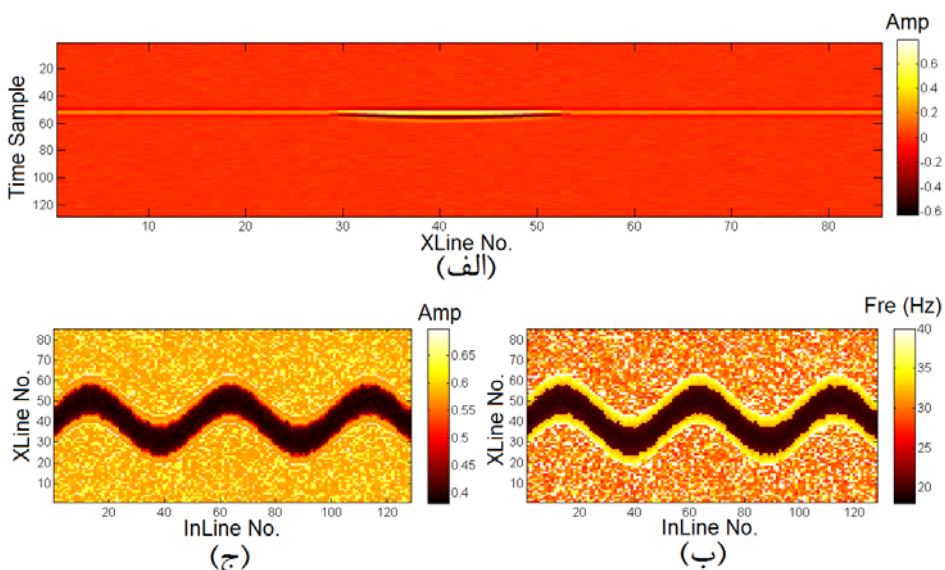


شکل ۴. (الف) مکعب داده لرزه‌ای مصنوعی با فاصله نمونه‌برداری ۲ میلی‌ثانیه و (ب) برش افقی در نمونه ۵۳

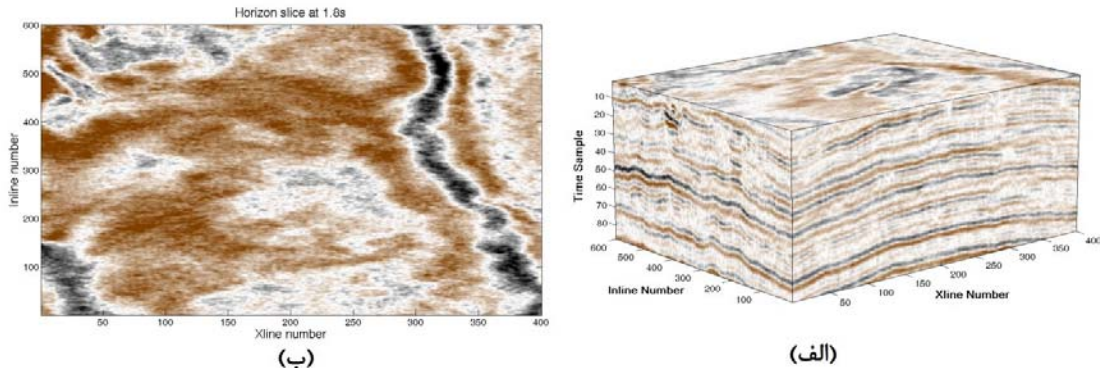
ایران به کار برده شد. این داده دارای ۴۰۰ خط چشم و ۶۰۰ خط گیرنده است. کanal در حدود زمان دو طرفه $1/8$ ثانیه قرار دارد. در شکل ۶ مکعب داده لرزه‌ای و برش زمانی $1/8$ ثانیه آن نشان داده شده است. نشانگرهای بسامد لحظه‌ای بیشینه و دامنه متناظر با آن برای داده پیش‌گفته، حاصل از تبدیل فوریه زمان کوتاه و اهمام‌بخشی و تبدیل فوریه زمان کوتاه محاسبه و در شکل ۷ نشان داده شده است.

بیشینه و دامنه متناظر آن برای این داده‌ها استخراج شد. در شکل ۵ برش قائم در خط گیرنده یک و دو نشانگر پیش‌گفته نشان داده شده است. همان‌طور که در شکل ۵ مشاهده می‌شود، بسامد لحظه‌ای بیشینه و دامنه متناظر با آن به هنگام حرکت از لبه به سمت مرکز کanal به سبب تداخل امواج در کanal کاهش می‌یابد.

به‌منظور بررسی میزان کارایی روش معروف شده در شناسایی کanal‌های مدفون، الگوریتم پیش‌گفته روی یک مکعب داده لرزه‌ای واقعی مربوط به یکی از میدان‌نفتی



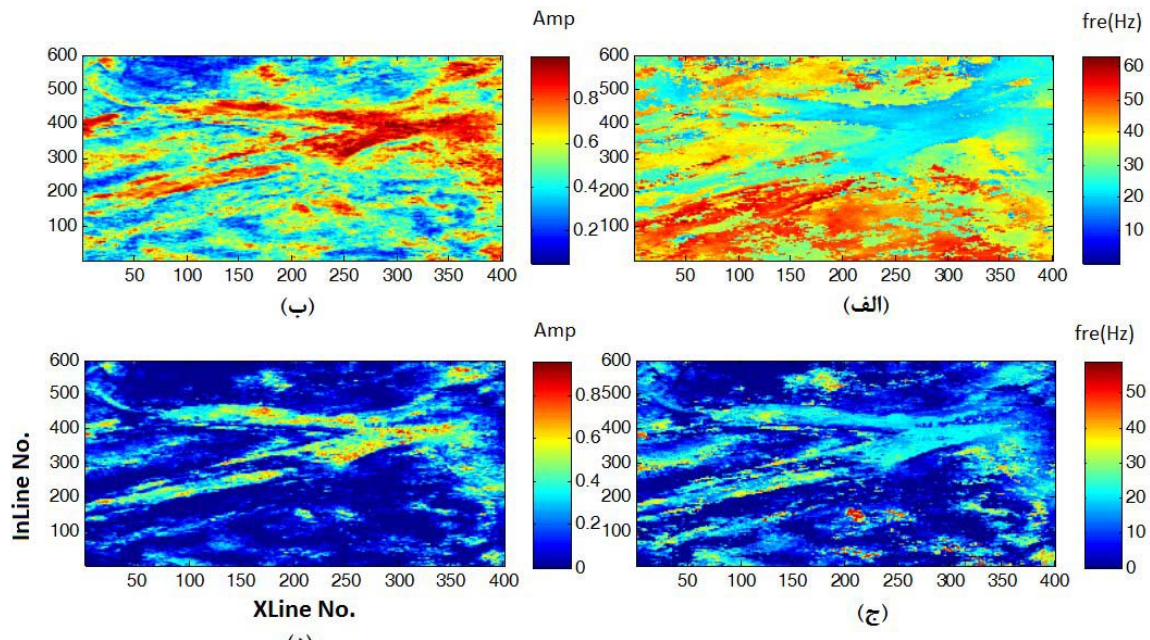
شکل ۵. (الف) مقطع دوی بعدی از کanal در خط گیرنده یک، (ب) بسامد لحظه‌ای بیشینه و (ج) دامنه بسامد لحظه‌ای بیشینه.



شکل ۶. (الف) مکعب داده لرزه‌ای مربوط به یکی از میدان‌ین نفتی ایران و (ب) برش زمانی ۱/۸ ثانیه از آن.

کف کانال علامت‌های مخالف هم دارند و در نتیجه تداخل در لبه‌های کانال ویرانگر است و با حرکت به داخل کانال از حالت تداخل ویرانگر خارج، و منجر به افزایش دامنه می‌شود. در نتیجه می‌توان در مورد رسوایاتی که کانال را پُر کرده‌اند به این نتیجه رسید که نسبت به لایه بالایی و پایینی، سرعت کمتری دارند.

همان‌طور که در شکل ۷ دیده می‌شود کانال دارای دو شاخه اصلی است. محدوده کانال‌ها در نتایج حاصل از تبدیل فوریه زمان کوتاه و اهمامیختی با قدرت تفکیک بیشتری نسبت به نتایج حاصل از تبدیل فوریه زمان کوتاه مشخص شده است. در داخل کانال به علت تداخل امواج لرزه‌ای بسامد غالب کاهش و دامنه متناظر با آن افزایش پیدا کرده است و این یعنی امپدانس صوتی در سطح و



شکل ۷. (الف) بسامد لحظه‌ای بیشینه به دست آمده از تبدیل فوریه زمان کوتاه، (ب) دامنه بسامد لحظه‌ای بیشینه به دست آمده از تبدیل فوریه زمان کوتاه ، (ج) بسامد لحظه‌ای بیشینه به دست آمده از تبدیل فوریه زمان کوتاه و اهمامیختی و (د) دامنه بسامد لحظه‌ای بیشینه به دست آمده از تبدیل فوریه زمان کوتاه و اهمامیختی.

- Castagna, J. P., Sun, S., and Siegfried, R. W., 2003, Instantaneous spectral analysis: Detection of low-frequency shadows associated with hydrocarbons: The Leading Edge, **22**, 120-127.
- Cohen, L., 1995, Time-frequency analysis: Hunter college and Graduate Center of The City University of New York.,
- Gabor, D., 1946, Theory of communication: Journal of the Institution of Electrical Engineering, **93**, 429-457.
- Leite, F. E. A., Montagne, R., Corso, G., Vasconcelos, G. L., and Lucena, L. S., 2008, Optimal wavelet filter for suppression of coherent noise with an application to seismic data: Physica A, **387**, 1439-1445.
- Lucy, L. B., 1974, An iterative technique for the rectification of observed distributions: Astron. J., **79**, 745-754.
- Mallat, S., 2009, A wavelet tour of signal processing, 3th edition, Elsevier.
- Matos, M. C., Osorio, P., Mundim, E. C., and Moraces, M., 2005, Characterization of thin beds through joint time-frequency analysis applied to a turbidite reservoir in Campos Basin, Brazil: 75th SEG meeting, Houston, Expanded Abstracts, 1429-1432.
- Qiang, Z., and Wen-kai, L., 2010, Spectral decomposition using deconvolutional short time Fourier transform spectrogram: 80th SEG meeting, Denver, Expanded Abstracts, 1581-1585.
- Ralston, M., Li-Chun, K., Hui-Ping, X., and Di-Sheng, Y., 2007, General method to reduce cross-term interference in the Wigner-Ville decomposition: 77th SEG meeting, San Antonio, Expanded Abstracts, 870-874.
- Richardson, W. H., 1972, Bayesian-based iterative method of image restoration: J. Opt. Soc. America, **62**, 55-59.
- Sinha, S., Routh, P. S., Anno, P. D., and Castagna, J. P., 2005, Spectral decomposition of seismic data with continuous-wavelet transform: Geophysics, **70**, P19-P25.
- Ville, J., 1948, Theorie et applications de la notion de signal analytique: Cables et Transm, **2A(1)**, 61-74.
- Wen-kai, L. and Qiang, Z., 2009, Deconvolutional short-time Fourier transform spectrogram, IEEE SIGNAL PROCESSING LETTERS, **16**, 576-579.
- Wigner, E. P., 1932, On the quantum correlation for thermodynamic equilibrium: Phys. Rev., **40**, 749-759.
- Williams, W. J., 1996, Reduced interference

۷ نتیجه‌گیری

در این مقاله تبدیل فوریه زمان کوتاه و اهمامیختی معرفی شد که در مقایسه با تبدیل‌های زمان-بسامد مرسوم از قدرت تفکیک بیشتری برخوردار بود و توانست نقاط ضعف تبدیل فوریه زمان کوتاه و خانواده ویکنر-وایل را مرتفع کند. از دو نشانگر بسامد لحظه‌ای بیشینه و دامنه متناظر با آن که در حوزه زمان - بسامد با استفاده از نتایج تبدیل فوریه زمان کوتاه و اهمامیختی استخراج شد، برای شناسایی کانال‌های مدفون استفاده شد که نشان‌دهنده کارایی این نشانگرها و تبدیل فوق، در شناسایی این کانال‌ها بود. همچنین روشن شد که می‌توان با توجه به رفتار دامنه امواج لرزه‌ای در داخل کانال و محتوای بسامدی داده‌ها نسبت به رسوباتی که کانال را پُر کرده‌اند، اظهار نظر کرد و الگویی برای تغییر سرعت امواج لرزه‌ای در محدوده کانال با استفاده از بسامد غالب و دامنه آن به دست داد.

منابع

- روشن‌دل کاهو، ا.، ۱۳۸۸، بهبود تبدیل‌های زمان-بسامد در مطالعه داده‌های لرزه‌ای، رساله دکتری، موسسه ژئوفیزیک دانشگاه تهران.
- روشن‌دل کاهو، ا.، و سیاه‌کوهی، ح. ر.، ۱۳۸۸، تعیین فاکتور کیفیت با استفاده از تبدیل‌های زمان-مقیاس و زمان-مقیاس، مجله ژئوفیزیک ایران، **۳**، ۲۳-۱۹.
- روشن‌دل کاهو، ا.، و سیاه‌کوهی، ح. ر.، ۱۳۸۹، شناسایی مستقیم منابع هیدروکربنی به روش تعیین فاکتور کیفیت با استفاده از محاسبه چگالی انرژی در حوزه زمان-مقیاس، مجله فیزیک زمین و فضا، **۳۶**، ۸۷-۷۵.
- Askari, R., and Siahkoohi, H. R., 2008, Ground roll attenuation using the S and x-f-k transforms: Geophysical Prospecting, **56**, 105-114.
- Auger, F., Flandrin, P., Gonçalvès, P., and Lemoine, O., 1996, Time-frequency toolbox, CNRS (France), Rice University (USA).

- smoothed pseudo Wigner–Ville distribution: Journal of Applied Geophysics, **68**, 386–393.
- Yandong, L., Jinsong, L., and Xiaodong, Z., 2010, Channel system characterization using Wigner-Ville distribution-based spectral decomposition: 80th SEG meeting, Denver, Expanded Abstracts, 1418–1422.
- distributions: biological applications and interpretations: Proceedings of the IEEE, **84**, 1264-1280.
- Xiaoyang, W., and Tianyou, L., 2009, Spectral decomposition of seismic data with reassigned